

# 11. レーザレーダによる油漏の遠隔測定—基礎実験—

Remote Detection of Oil Spills by Laser Rader

-- Basic Experiments --

佐藤卓哉, 柏木寛

Takuzo Sato, Hiroshi Kashiwagi

電子技術総合研究所

Electrotechnical Laboratory

1. まえがき　海洋および河川における環境保全の重要性から遠方の特定物質を検出できる装置として、遠隔測定用レーザレーダを实用化しようとう動きがある。<sup>(1)(2)(3)(4)(5)</sup>レーザ光照射により、水面あるいは水中に含まれる油とか植物プランクトンは、それぞれ独自のスペクトルをもつ螢光を発する。これららの螢光を分光分析すると、水面あるいは水中に含まれる物質の判別や濃度を測定できる。その他、無機( $\text{NaNO}_3$ )とか有機化合物(ベンゼン)などの汚染分子の水中濃度をレーザラマン分光で測定しようと試みもある。<sup>(6)(7)</sup>近年、油の流出事故が続出し、海洋汚染の中で種類別にみると油によるものが最も多く全体の84%を占めている。<sup>(8)</sup>こういう背景をもとに油汚染監視技術の確立が急がれている。従来のマイクロ波レーダや赤外放射計などによつても汚染油を検出できず<sup>(9)</sup>が、汚染油の判別あるいは濃度を遠隔測定することは従来の方法では不可能である。それを可能たらしめるものとして、レーザレーダに期待がかけられてる。レーザ照射による油からの螢光をスペクトル分析することにより油の種類の判別を行なうと、試みが米国運輸省交通システムセンターで行なわれてる。しかし、油の螢光スペクトルはかなり中古なものであるので、それのみで油の判別がかなり困難なところがある。われわれも、灯油、軽油および重油の螢光およびラマン散乱スペクトルを測定しレーザレーダによる油汚染の遠隔測定の可能性を研究したので、その初期の結果について述べる<sup>(10)</sup>。

2. 石油の螢光スペクトル　石油の螢光スペクトルの例をオ1図に示す。この場合の励起光は、二波長351.1nmおよび363.8nmからなるアルゴンレーザ光である。これらのスペクトルはレーザラマン分光計(日本電子製、JRS-400D)により得られた。重油の場合、試料セルの壁に附着した薄い層の重油を対象にし、灯油や軽油の場合と測定条件が異なってるので、重油の強度は他のものと比較できないことをつけ加えておく。

灯油と軽油の紫外レーザ励起による散乱スペクトルの短波長側を示したのがオ2図である。これらのスペクトルはデブルモノクロメータの二次の回折光を観測したものである。灯油の場合は、 $2900\text{ cm}^{-1}$ 附近のラマン線が観測される。一方軽油の方は螢光が強くラマン線が観測されない。灯油の螢光ピーク強度は、ラマン線 $2900\text{ cm}^{-1}$ の強度に比べ二桁あることはそれ以上大きい。

アルゴンレーザの紫外光を光源とするレーザレーダ構成により得られた灯油、軽油、重油のスペクトルをオ3図に示す。この場合試料油はレーザおよび反射鏡(口径20mm)から約5mの距離に置いた水入り容器に入れてあり、灯油、軽油の厚さは6.4mmであった。検出器はPAR社のOMAで、分光器はジャレルアッシュの0.25mmを1クロマ使っている。測定時間は $22.4 \times 1000\text{ msec}$ である。重油の螢光のピークは、灯油、軽油の場合よりも長波長側にある。

このような螢光スペクトル全体の形を観測することにより、油の種類判別

が可能となると思われる。

3. 石油のラマンスペクトル　波長 $514.5\text{ nm}$ のアルゴンレーザ光を励起光として、レーザラマン分光計で得られた灯油、軽油、重油の散乱スペクトルをオフセットに示す。灯油の場合はラマンスペクトルのみが観測されるが、軽油の場合は螢光の上にラマンスペクトルがのった形となる。重油の場合は螢光のみが観測される。灯油の場合の $2800\sim3000\text{ cm}^{-1}$ のラマン線はパラフィン系炭化水素のCH枝の伸縮によるものである。

このような可視レーザ励起の油の散乱スペクトルから石油の判別が可能と思われる。

4. ラマン線に対するレーザレーダのS/N。ベンゼンのラマン線 $992\text{ cm}^{-1}$ の散乱断面積<sup>(12)</sup>と比較するとより、灯油のラマン線 $2820\text{ cm}^{-1}$ の微分後方ラマン散乱断面積は約 $5\times10^{-34}\text{ m}^2\cdot\text{sr}^{-1}$ であることがわかる。油の分子密度は計算によると約 $10^{27}\text{ m}^{-3}$ である。 $\lambda=514.5\text{ nm}$ のレーザパワー $1\text{ W}$ 、送受信光学系の効率 $0.01$ 、受信開口面積を $0.03\text{ m}^2$ とし、光電子増倍管としてf-20形、励起光として波長 $514.5\text{ nm}$ および $488\text{ nm}$ のCWアルゴンレーザ光を用いるとすると、油膜をパラメータとした場合の油のラマン散乱光に対するレーザレーダのS/Nは、レーザレーダ方程式<sup>(13)</sup>から計算され、その結果をオフセットに示す。この場合のレーザレーダは夜間使用を想定している。

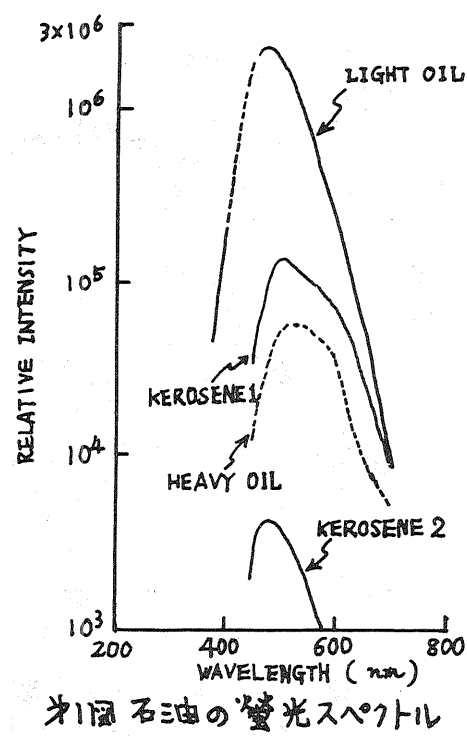
光源として $488\text{ nm}$ のアルゴンレーザ、口径 $20\text{ cm}$ の受信望遠鏡、さらにつなぐアルミノクロとSPC方式処理部からなるレーザレーダ構成により得られた油の散乱スペクトルの室内実験結果をオフセットに示す。 $2820\text{ cm}^{-1}$ のラマン線に対するレーザレーダのS/Nは、計算値より一桁程小さい。これは、実際の光学系の損失がより大きいことによると思われる。

5. まづび　以上、紫外および可視アルゴンレーザによる油の散乱スペクトルの測定結果より、油の螢光およびラマン散乱スペクトルを比較することにより油濁の遠隔測定および油の判別の可能性を示した。今後、YAGパルスレーザのオニ、オニ、オ四高調波等を用いて油の遠隔測定の実験を進めて行く計画である。

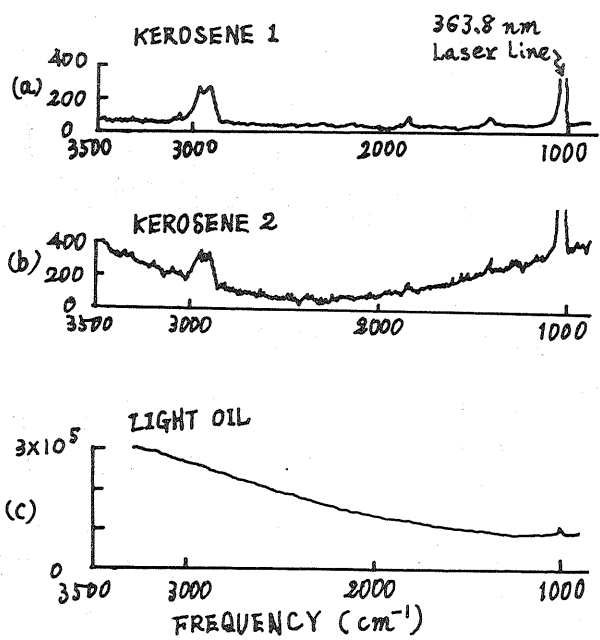
あわせて、日頃御鞭撻を頂かれてる当研究所様井健二郎電波電子部長、東北大學電気通信研究所猪場文男教授、同研究所小林高郎助手に深く感謝致します。

## 文献

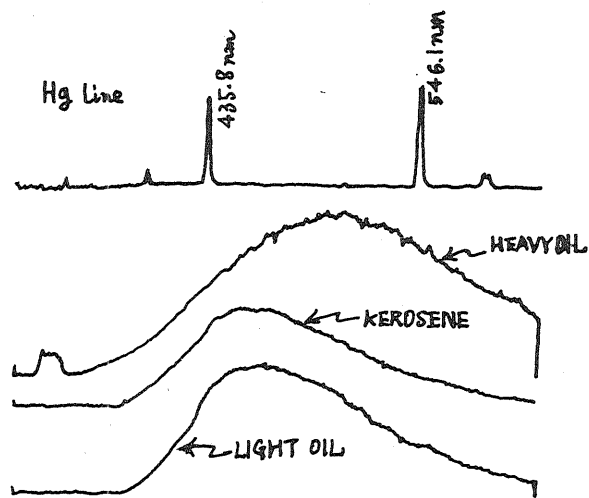
- 1) J.F. Fontasia, T.M. Hard & H.C. Ingrao; Proc. Inst. Environ. Sci. 18, 342(1972)
- 2) J.F. Fontasia, T.M. Hard & H.C. Ingrao; Transportation systems center Report No.DOT-TSC-USCG-71-7.
- 3) Electronics, July 3, 32(1972)
- 4) R.A. O'Neil, A.R. Davis, H.G. Gross & J.Kruus; A report of Inland Waters Directorate, Environment Canada, 1974)
- 5) H.H. Kim; Appl. Opt. 12, 1454(1973)
- 6) H. Gross, A. Davis & J. Kruus; AIAA Paper No. 71-1076
- 7) M. Ahmadjian & C.W. Brown; Environmental Science & Technology, 1, 452(1972)
- 8) E.B. Bradley & C.A. Frenzel; Research Report No. 44., Univ. of Kentucky, (1972)
- 9) 海上保全白書、昭和50年版。
- 10) Remote Sensing; キヤノンイメージ会報、(昭和49年)
- 11) T. Sato & H. Kashiwagi; OCEAN'75 Record, P681(1975)
- 12) J.G. Skinner & W.G. Milson; J. Opt. Soc. Am. 58, 113(1968)
- 13) H. Inaba & T. Kobayashi; Opto-electronics, 4, 101(1972).



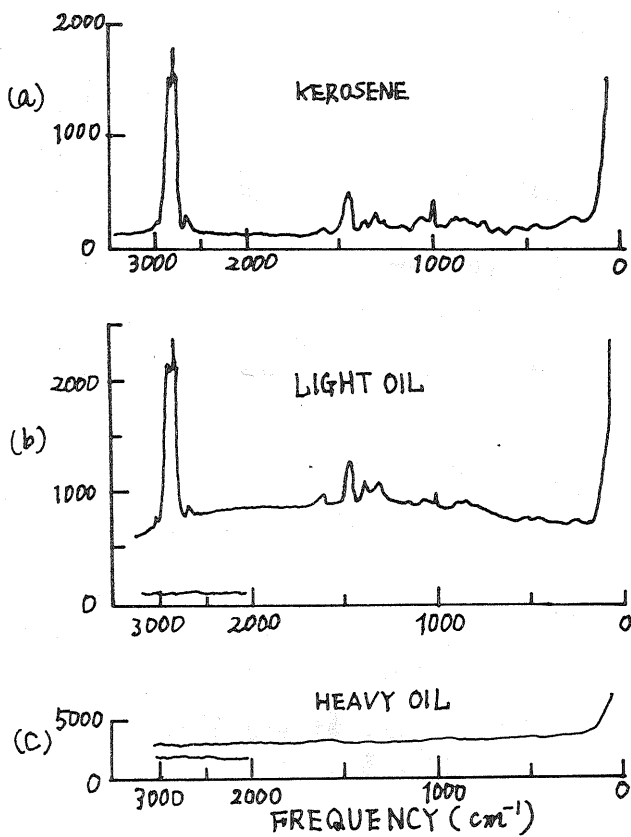
第1回 石油の螢光スペクトル



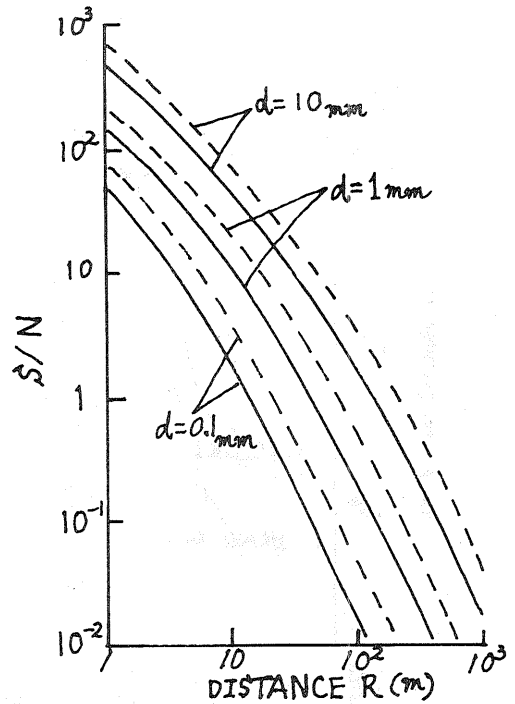
第2回 灯油と軽油の紫外レーザ  
励起散乱スペクトル



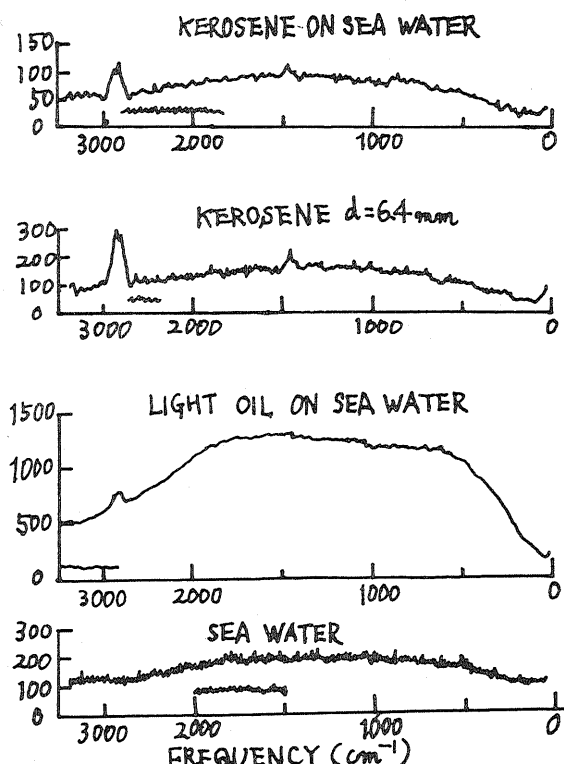
第3回 レーザーラーダ系により得られた  
石油の螢光スペクトル



※4図 灯油、軽油、重油の可視レーザー(514.5 nm)励起散乱スペクトル



※5図 油のラマン後方散乱光に対するレーザーレーザーの  $S/N$ 。  
 $d$  は油膜、点線はレーザー光が  
488 nm、実線は 514.5 nm の  
場合。使用時は夜間とする。



※6図 レーザーレーザー系により得られた  
灯油、軽油の散乱スペクトル。  
レーザー光 488 nm. 距離  $R$  5.4 m.